

Fig. 1(b)

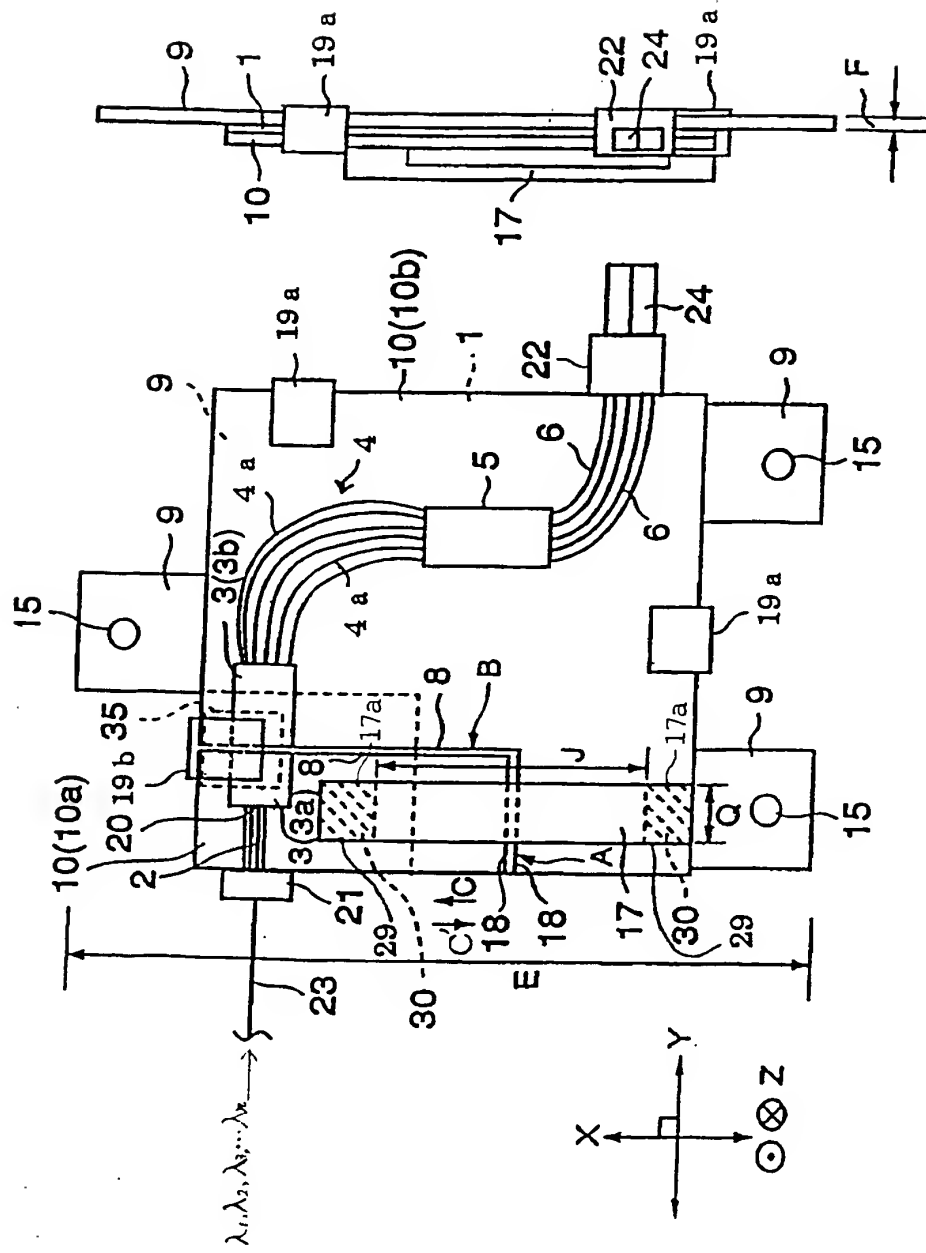


Fig. 2(a)

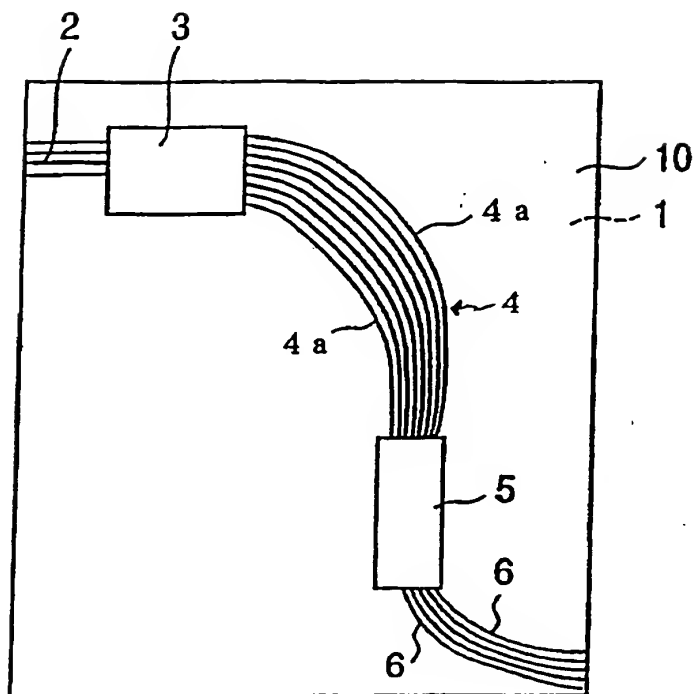


Fig. 2(b)

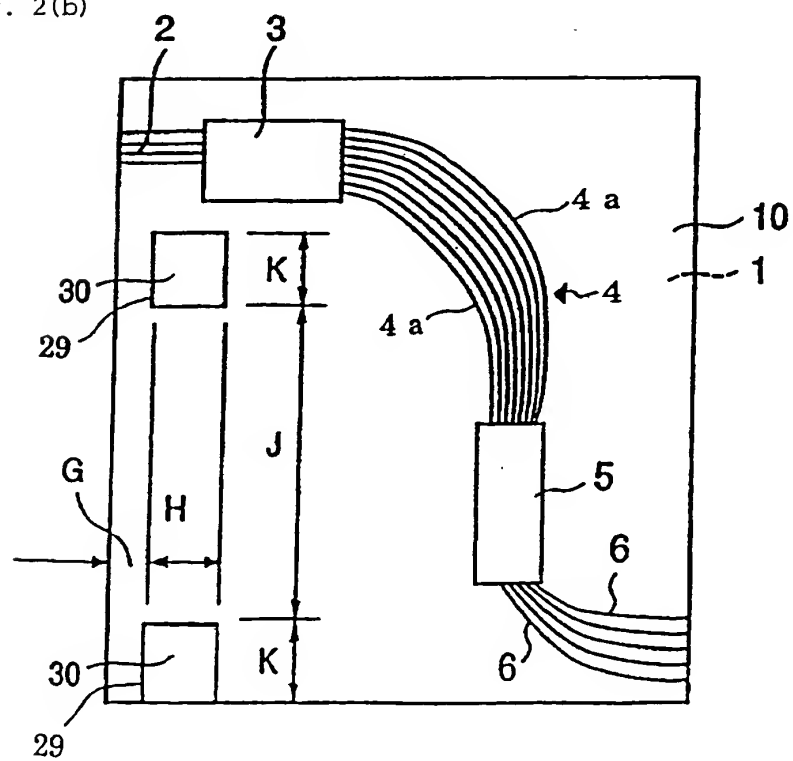


Fig. 3(a)

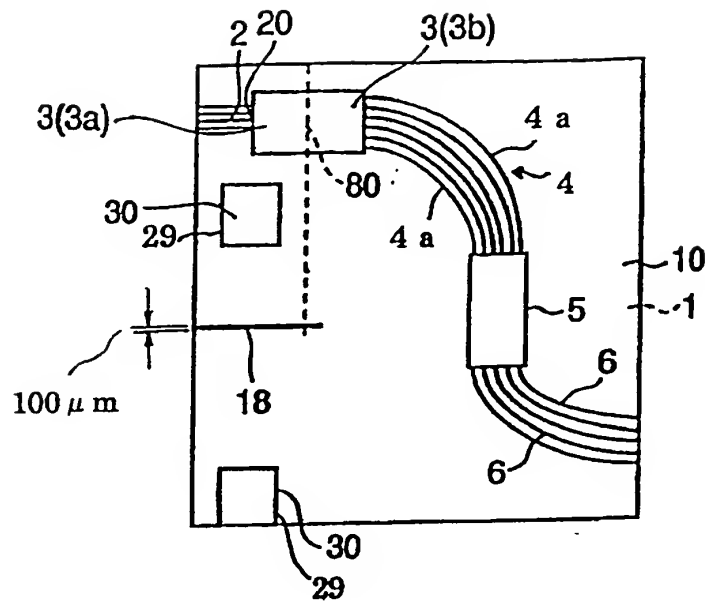


Fig. 3(b)

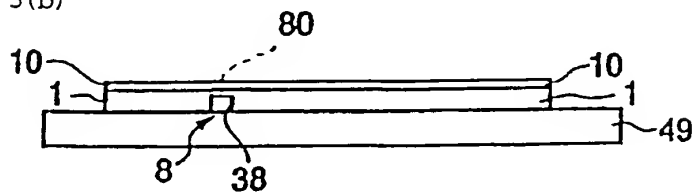


Fig. 4(a)

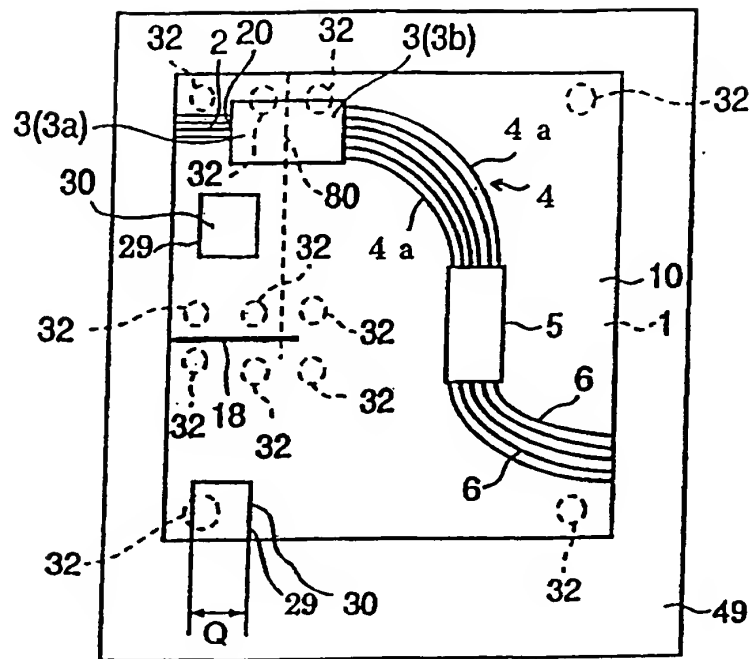


Fig. 4(b)

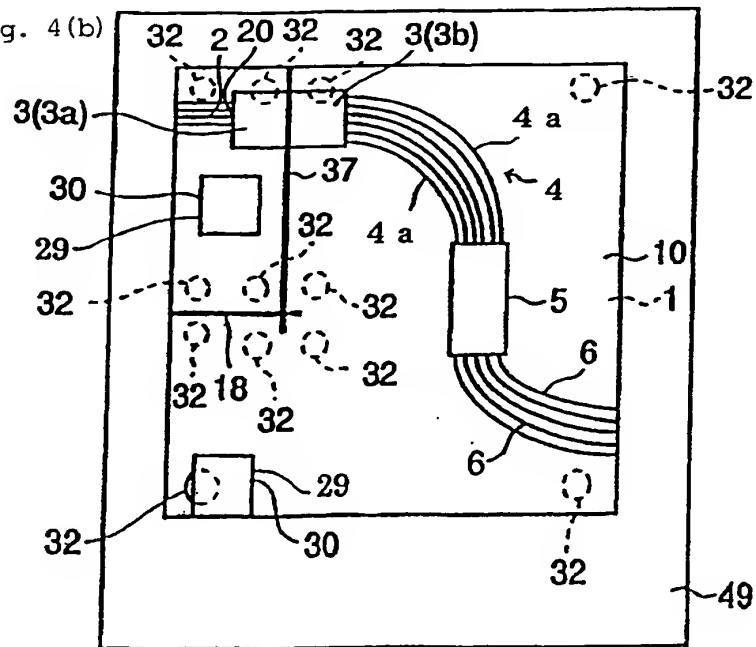


Fig. 4(c)

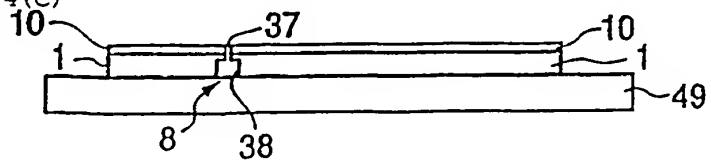


Fig. 5(a)

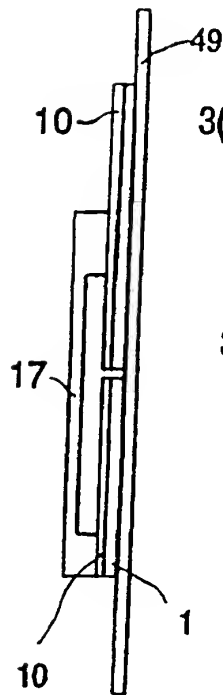


Fig. 5(b)

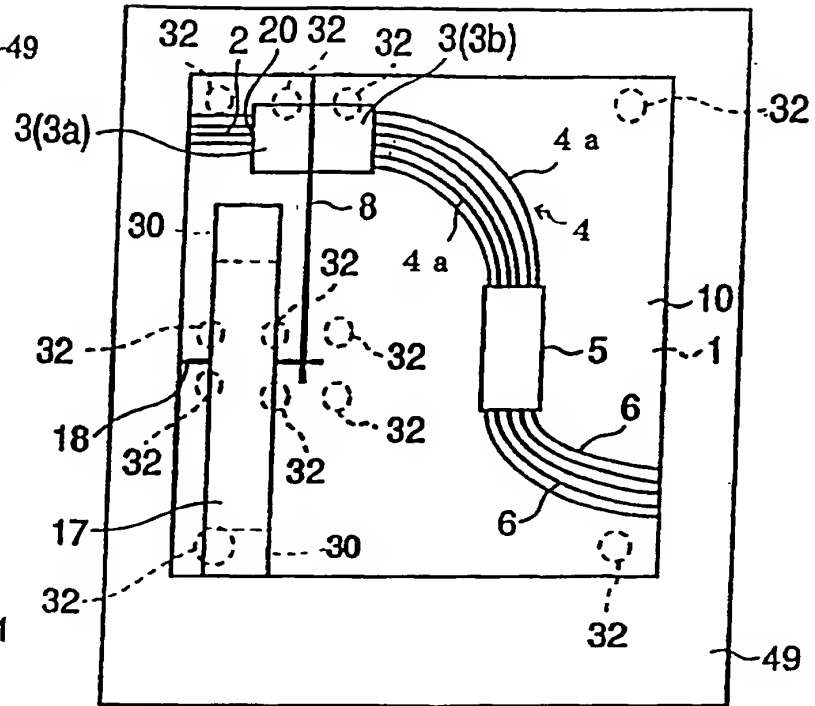


Fig. 5(c)

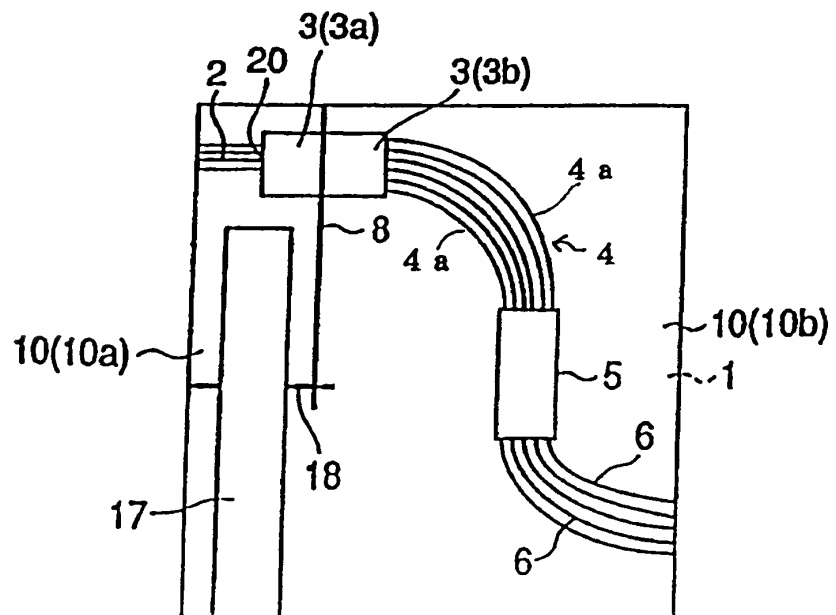


Fig. 6(a)

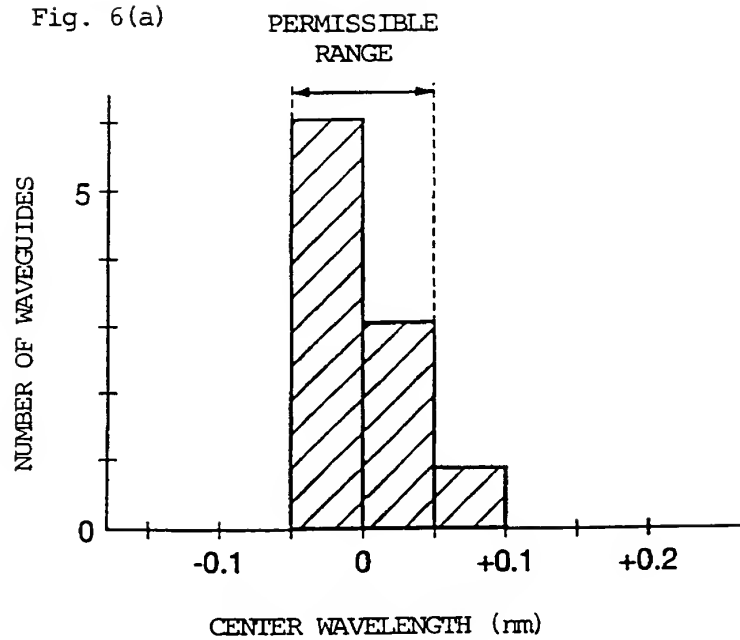


Fig. 6(b)

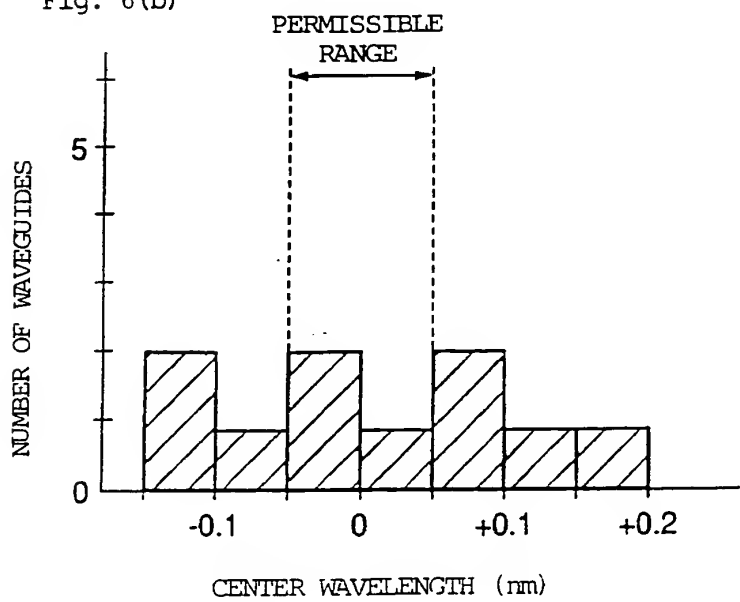


Fig. 7

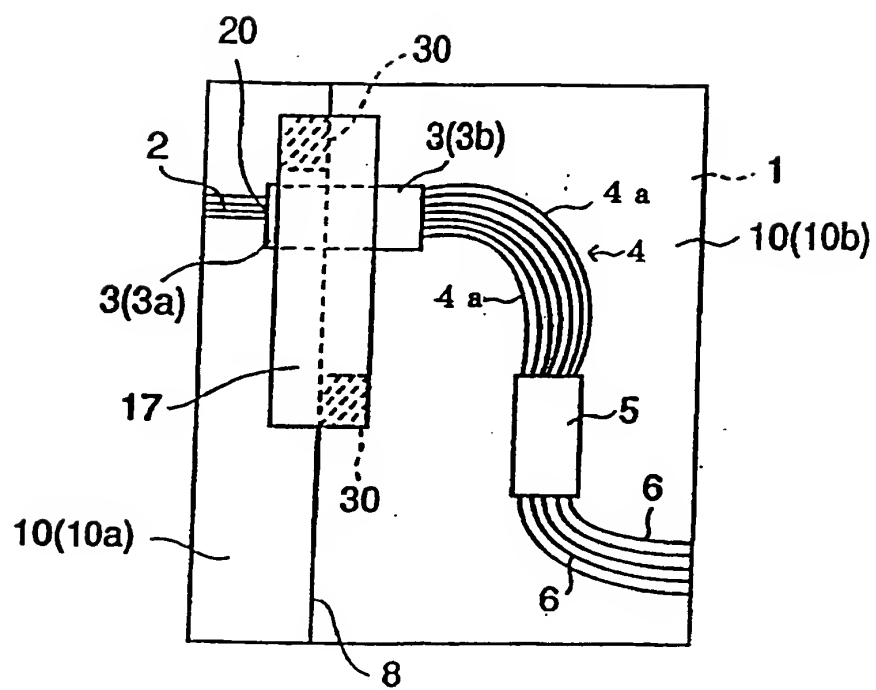


Fig. 8(a)

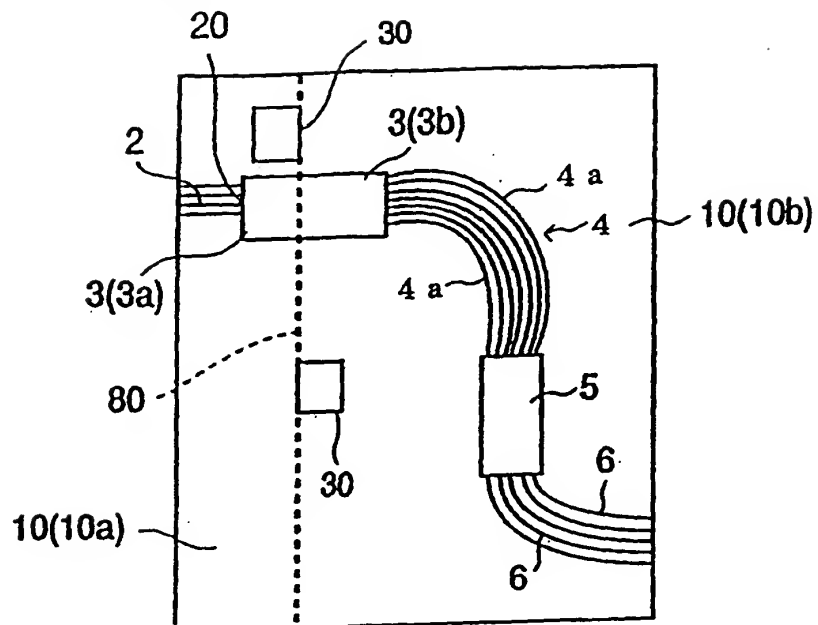


Fig. 8(b)

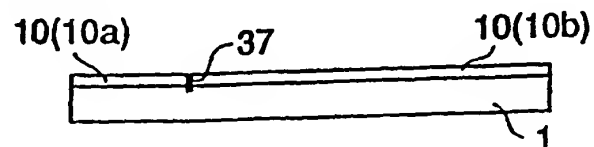


Fig. 8(c)

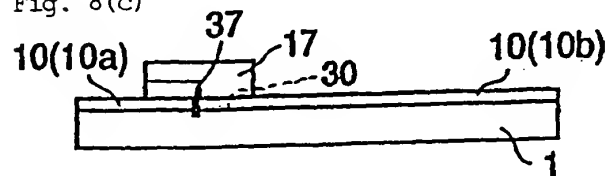


Fig. 8(d)

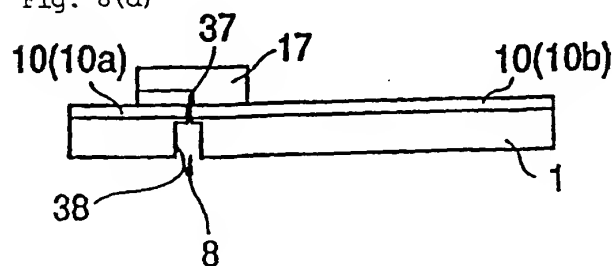


Fig. 9

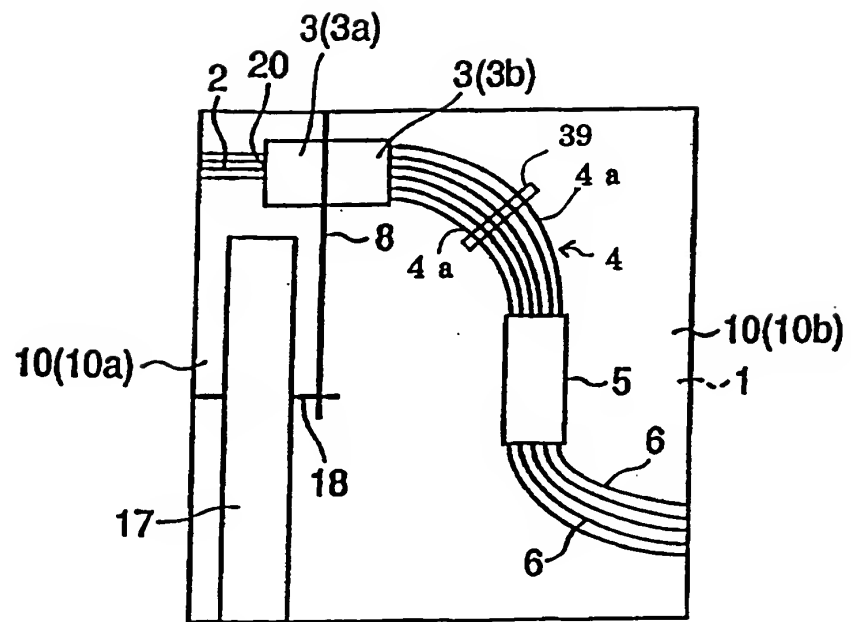


Fig. 10(a)

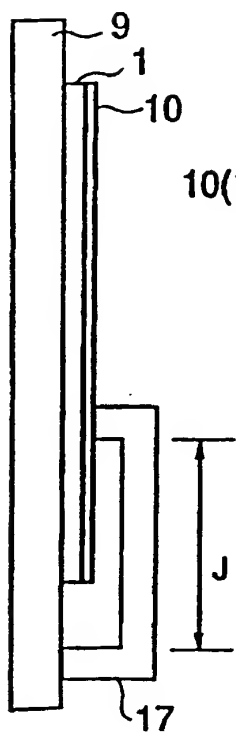


Fig. 10(b)

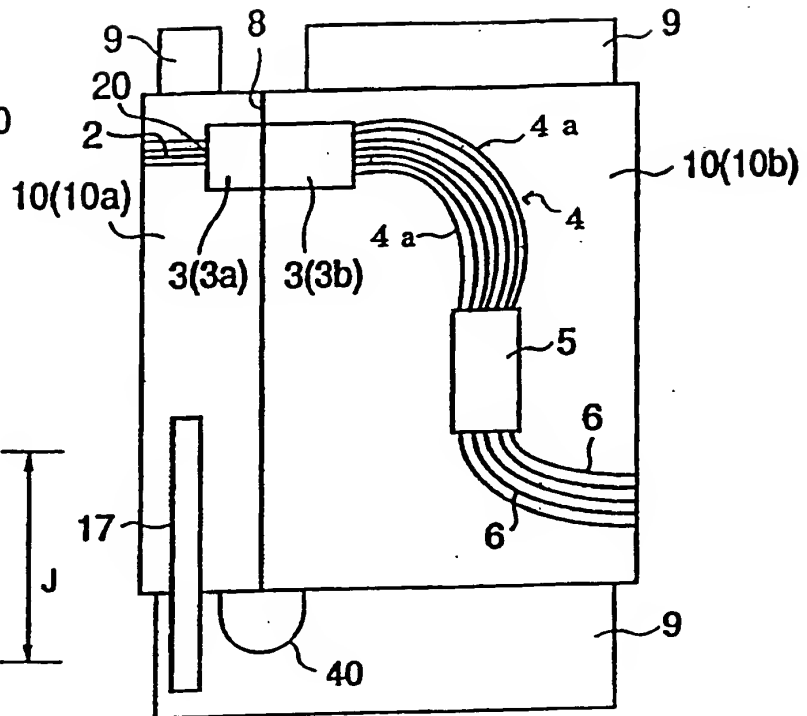


Fig. 11(a)

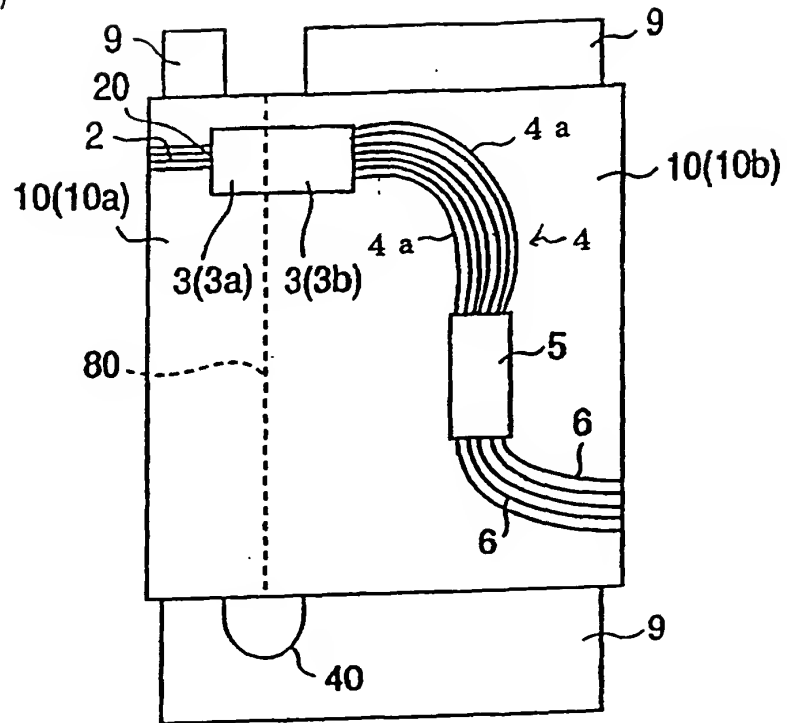


Fig. 11(b)

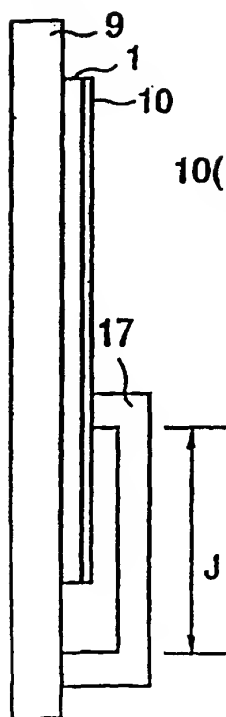


Fig. 11(c)

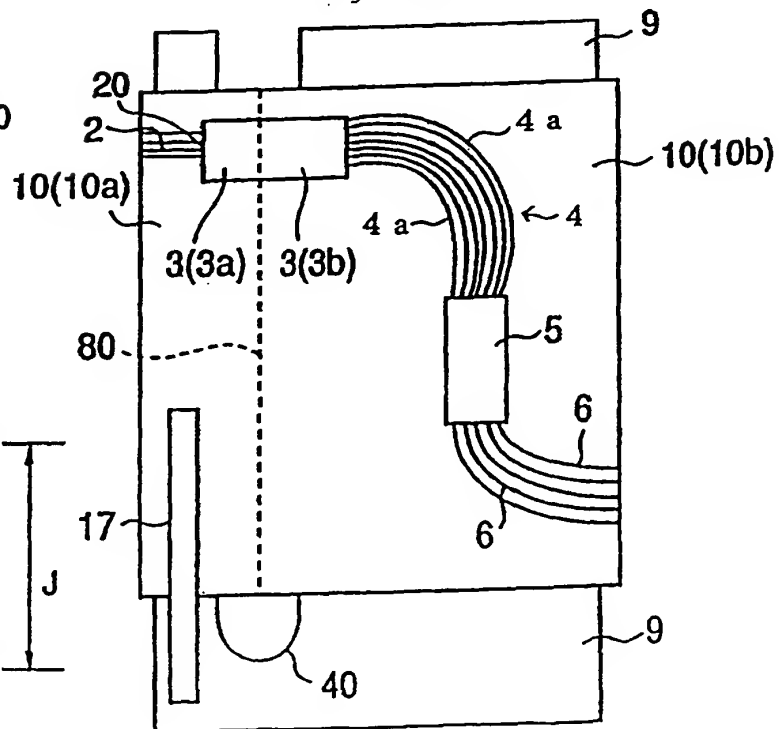


Fig. 12

Background Art

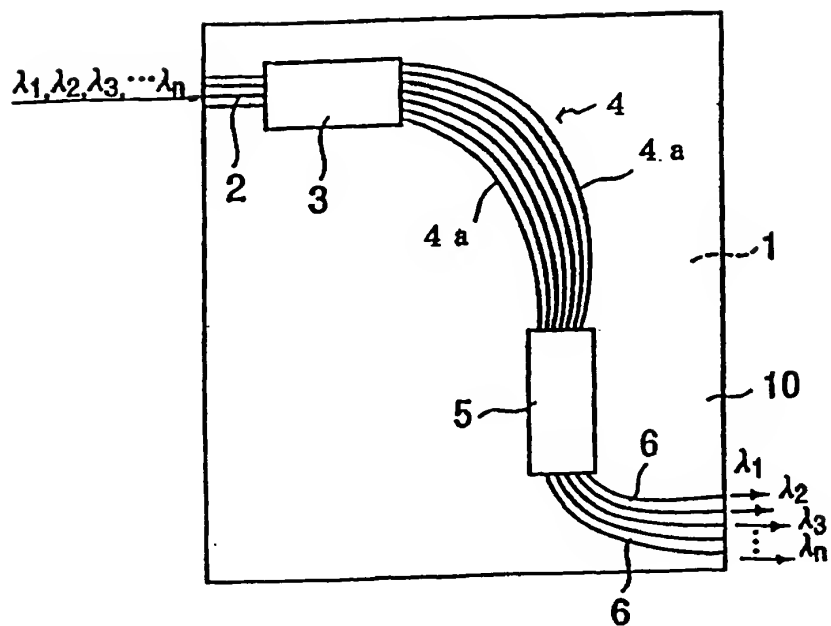


Fig. 13

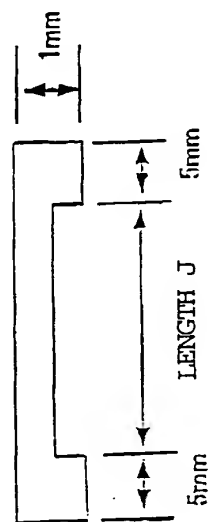


Fig. 14

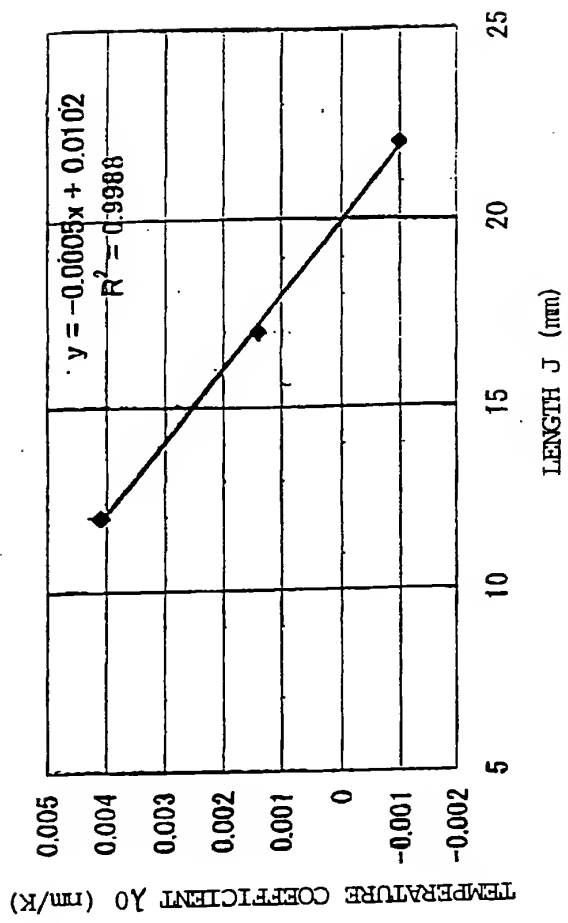


Fig. 15

| | TEMPERATURE | SHIFT AMOUNT OF CENTER WAVELENGTH |
|----|-------------|--------------------------------------|
| 1 | 50.5 | 0.3077 |
| 2 | 45.0 | 0.2584 |
| 3 | 82.1 | 0.6683 |
| 4 | 78.3 | 0.6339 |
| 5 | 32.6 | 0.1010 |
| 6 | 58.8 | 0.4112 |
| 7 | 65.0 | 0.4501 |
| 8 | 62.2 | 0.4376 |
| 9 | 77.3 | 0.5939 |
| 10 | 41.2 | 0.1824 |

Fig. 16

